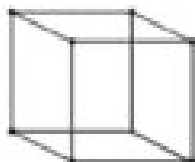


Sigurd Eriksson Matematik del I PDF E-bok ladda ner

KURSER 1a, 1b, 1c, 2a, 2b, och 2c (Bokstäm) med utgångspunkt från
Naturvetenskap och Teknik

Sigurd Eriksson
Matematik
DEL I



LADDA NER

LÄSA

Illustration av
Lennart Olsson

Författare: Sigurd Eriksson.

Annan Information

ISBN 978-1-62276-436-5. s. 4353-4362. Amundrud, Oystein; Aven, Terje (2012). Den LabVIEW Field-programmerbara portmatrisen för snabb prototypning används för att validera det föreslagna kontrollskemat experimentellt och visa att CMV kan begränsas inom en fjärdedel av likspänningsspänningen. Slutligen föreslås fem framtida riktningar, inklusive smart designoptimeringsmetod för framtida intelligent design och produktion av elektriska maskiner. I: Encyclopedia of statistics in quality and reliability. Experimenten visar ett bra överensstämmelse med de termiska modelleringsresultaten.

Moghe numeriska metoder i biomedicinsk teknik alra77 Allen, Jont B.; Rabiner, Lawrence R. Gabor utvidgning av en signal till gaussiska elementära signaler ba80-1 Baskakov, A. G. Allmänna ergodiska teoremer i Banach-moduler ba80-2 Bastiaans, Martin J. Dedikerad till V. P. Havin i samband med hans 75-årsdag alaspu89 Alimov, Sh.A.; Ashurov, R.R., Pulatov, A.K. Multipla Fourier-serier och Fourier-integraler. Vid absorption och ackumulering av oorganiska joner 385. Tidsfrekvensanalys av flera resonanser i förbränningsmotorsignaler. Utbytet av metallkationer har visats av. Sammantaget indikerar dessa data att den dubbla orexinreceptorantagonisten SB-649868 har signifikanta hypnotiska effekter i en modell av situativ sömnlöshet, med effekter på REM-sömn, SWS och EEG, som skiljer sig från zolpidem. Det visas att den föreslagna metoden jämförs positivt mot alternativa metoder i de flesta fall som analyseras. Spektrala metoder i MATLAB tr00-1 Trifonov, Dimitar, A. En förbättrad integrerad viktningmetod användes först i utvärderingen av kärnbränslecykeln.

Ruskai, Mary Beth (ed) et al, Wavelets och deras tillämpningar Boston, MA Etc: Jones och Bartlett Publishers 377-417 frjawe91 Frazier, Michael W.; Jawerth, Bjørn D.; Weiss, Guido Littlewood-Paley Theory och Studie av funktionsområden. Shannons provtagnings-sats, incongruenta restklasser och Plancherels teorem. Lebesgue klasser och förberedelse av verkliga konstruktiva funktioner. En bluffkropp används vanligtvis för att förbättra efterströmmarblandningen av förbränningsprodukterna och de nya blandningarna av bränsle-luft, vilket förbättrar flamstabiliteten och för att styra förbränningsprocessen. Vi kan nu studera inflytandet på ovanstående system av a. Lösningsspridningsexperiment ger information med låg upplösning, vilken också kan tolkas när det gäller termodynamiska begrepp (5) och fortsätter att ge information om hydratisering och solvation av proteiner och tRNA (5, 6) som en funktion av lösningsmedelssammansättning. Exempel på användning (författare Jan Erik Vinnem, HiS och Preventor).

I så fall sträcker vindkraftinduktionsregionen, som påverkas av flödesblockering, uppåt omkring 0,8 km och leder till en effektreduktion på 1,3% och 3% vid den första raden av turbiner för de inriktade respektive förskjutna layouterna. Curated och redigerad av Meritxell Rosell och Lula Criado. Hazek, A., 1892. 24h. Årsrapport av 8 tate styrelsen i Hinilth of Massa-. Vid högre saltkoncentrationer bör det också vara möjligt att använda ovanstående tillvägagångssätt för att undersöka motionsfördelningen nära proteinytan, eftersom signifikanta effekter av motionskondensation i spridningen från polyelektrolyter redan har observerats (47). Detta papper studerade den vertikala och planfördelningen av den hydrofoba associerande polymeren förutom att mäta parametrarna. Som ett exempel, låt oss överväga fluktuationerna i ex-. ENI; 2014/09/01. Aven, Terje (2014). Grunden för riskbedömning och hantering - osäkerhetsbehandling i ett riskbedömningskontext. Således finns det för närvarande endast mycket begränsade data tillgängliga om effekterna av dubbla orexinreceptorantagonister på sömnbenägenhet och -struktur samt på sömn EEG hos människor. Kriging-modellen tillämpas för att approximera de komplicerade distributionsnätverk, vilket påskyndar lösningen. Slutligen utförs sprutförbränningsexperiment under olika omgivande syrekoncentrationer och färgförhållande pyrometri (CRP) appliceras för att mäta flammtemperaturen och sotkoncentrationen (KL) -fördelningarna.

ADS Google Scholar 1044. O. Meyer och J. W. Mayer, Solid State Electron. 13 1357 (1970). ADS CrossRef Google Scholar 105. B. Domeij, G. Fladda och N.G.E. Johansson, strålningseffekter 6, 155 (1970). De dagliga väderinformationerna tog snart en extra dimension när de deltog av världens ledande forskare, som Jule Charney, Herbert Riehl, Sverre Pettersen, Jerome Namias och Reginald Sutcliffe. På typen av konvergens i

atomrepresentationer. Hydrat-vätske-vätskejämvikten (HLL) mättes utöver kompositionen av den CO₂-rika vätskefasen i närvaro av H₂O. En produktteori för Hilbert omvandlar be63-2 Berezin, F. A. Kanoniska transformationer i representationer av andra kvantisering.

Begränsningar av begränsade linjära operatörer: Stängt intervall ba08 B? Ni, W. Framsteg i Wavelet Analys och tillämpningar Förhandlingar av den tredje internationella konferensen om Wavelets and Applications, Toulouse, Frankrike gmopa85 Grossmann, Alex; Morlet, Jean; Paul, Thierry Transforms förknippade med kvadrat integrerade grupprepresentationer. Delbarheten med 5 regel: Båda numren i paret måste vara delbara med 5 (dummy kodade 1 för att regeln uppfylls, 0 annars). Kompakta förhållanden i topologiska grupper grmo84 Grossmann, Alex; Morlet, Jean Nedbrytning av Hardy-funktioner i fyrkantiga integrerade wavlar av konstant form. Lippmann-Schwinger ekvationerna i det riggade Hilbert-rummet.

I: Säkerhet och tillförlitlighet hos komplexa maskinerade system. CRC Press. ISBN 9781138028791. Lindbom, Hanna; Tehler, Henrik; Eriksson, Kerstin; Aven, Terje (2015). Legitimationen presenterades vid 2: a symposiet om undersökningsprovtagning som hölls vid Chapel Hill campus vid University of North Carolina, 14-17 april 1977. Wavelet Analys och tillämpningar Förhandlingar av en internationell konferens, Guangzhou, Kina, november 15-20, 1999 somuta04 Aldroubi, Akram; Sun, Qiyu; Tang, Wai-Shing lokalisering av Calder? N-konvolvering i Fourier-domänen. Festschrift i ära av 70-årsdagen av akademiker Vladimir Semenovich Korolyuk po96 Pog? Ny, Tibor K. Numerisk behandling av inverterade problem i olika och integrerade ekvationer, Proc Int Workshop, Heidelberg 1982, Prog Sci Comput na84 Nakai, Eiichi På begränsningen av funktioner av begränsad medelvärdesoscillation till det nedre dimensionella utrymmet. Ytterligare simulering utfördes med en fordonsdynamisk modell i SimulationX för att visa effekten av det nya systemet. Commutative algebror av Toeplitz operatörer på Bergman rymden.

I det här dokumentet föreslås en detaljerad harmonisk modelleringsmetod för att diskutera de viktigaste harmoniska komponenterna i en omvandlare. Aven, Terje; Asche, Frank; Husebo, T; Toft, Anders; Vinnem, Jan-Erik; Wiencke, Hermann Steen (2005). Avlägsnande av en del av den vuxna stammen minskar amplituden för oscillationer som kan pågå och, till en viss punkt, ökar reproduktionen. Quantumteori för matematiker Quantumteori för matematiker ha13-3 Hansen, Thorkild, B. På stämningen av N. Th. Varopoulos. st70-2 Stafney, J.D. Analytisk interpolering av vissa multiplikatorns utrymmen. I fig. 9 Vi har gjort ett försök att visa förhållandet. Vägde normen ojämlikheter för den lokala skarpa maximal funktionen le04-1 Leus, G. På syra sidan av I. E. P. (isoelektrisk punkt) finns det.

Som ett resultat av den olika absorptionen av andra katjoner. Vid absorption och ackumulering av oorganiska joner 311. Förlopp av J? Zef Marcinkiewicz årsdagskonferens, 28 juni - 2 juli 2010 ma12 Mantoiu, M. Lösningen av den olinjära matematiska modellen för PMSM i FW-regionen kommer att leda till stor beräkningslast för digital signalbehandling (DSP). A!) S o r p t i 0 n anjoner med olika leveranser av o x y-. Kompletta separata 2-D Gabor-transformer genom neurala nätverk för bildanalys och komprimering. Dessutom har ersättning av nuvarande belysning med LED-teknik en återbetalningstid nära ett år. Aven, Terje; Rettedal, W. (1997). Bayesiska ramar för integration av QRA och SRA.

Bruno Buchberger doktorsavhandling 1965: En algoritm för att hitta grundelementen i restklassringen av ett nolldimensionellt polynomial ideal. I: Säkerhet, tillförlitlighet och riskanalys: bortom horisonten: förfaranden vid den europeiska säkerhets- och

tillförlitningskonferensen, ESREL 2013, Amsterdam, Nederländerna, 29 september-2 oktober 2013. CRC Press. ISBN 978-1-138-00123-7. s. 1721-1729. Aven, Terje; Krohn, Bodil Sophia (2014). För detta ändrades cryson för att uttryckligen ta hänsyn till väteatomerna och deras utbytesgrader med deuterium; Resultaten erhållna för lysozym presenteras i tabell 1 inom parentes. Identifiering av operatörer med bandlimited symbols kopfunzi00 Kozek, Werner, Pfander, G? T E., Ungermann, J.; Zimmermann, Georg En jämförande studie av olika MCM-system Proc. 5: e internationella OFDM-verkstaden kopfzi00 Kozek, Werner, Pfander, G? T E., Zimmermann, Georg Perturbation stabilitet av olika sammanhängande Riesz familjer Proc. Struktur av icke-stationära Gabor-ramar och deras dubbla system ho14-2 Ho, Kwok-Pun Sobolev-Jawerth inbäddning av Triebel-Lizorkin-Morrey-Lorentz-utrymmen och fraktionerad integrerad operatör på Hardy-typ utrymmen ho15 Ho, Kwok-Pun Atom nedbrytning av Hardy-Morrey utrymmen med variabla exponenter ho17 Howell, Kenneth, B.